

**Nota: Este documento
contiene imágenes en mal
estado.**

FOTOGRAFIAS



Fotografía No. 1

K0+000 - K0+200

El tubo va prácticamente superficial y cubierto por concreto. Tramo en buena condición geotécnica.



Fotograffía No. 2.



Fotograffía No.3

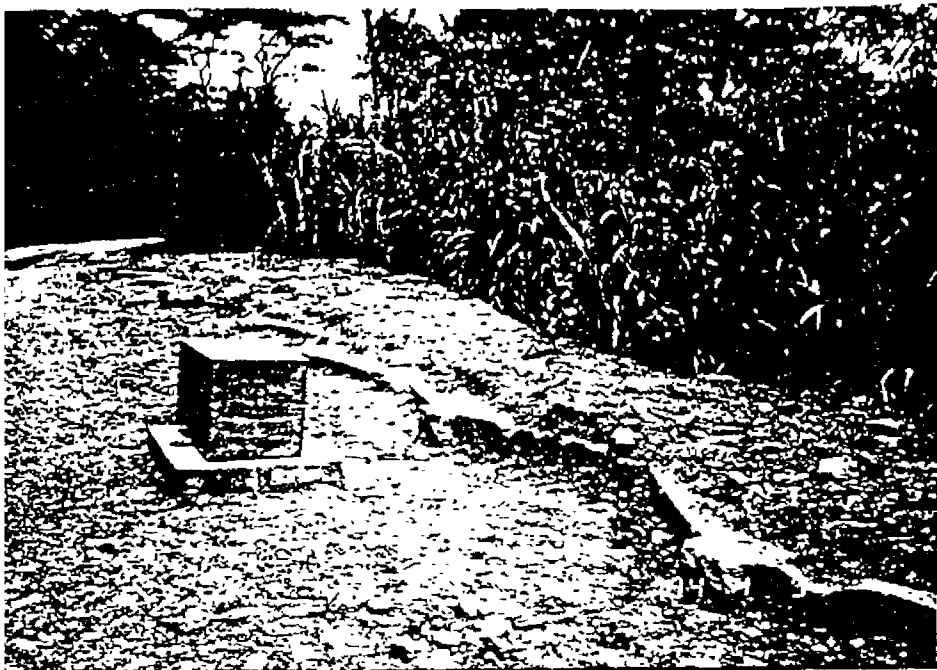
Fotograffías Nos. 2 y 3. K0+350

Ejemplo de una mala entrega de aguas de una alcantarilla que causa erosión del talud inferior del camino.



Fotografía No. 4 K0+400 - K0+450

Deslizamiento en talud inferior del camino de la conducción. Cárcava de erosión de 15 m de altura causada por entrega inconsiderada de aguas provenientes de la limpieza del embalse El Llano (ICE) y de aguas lluvias concentradas en ese punto.



Fotografía No. 5

K1+300. "Los Vados"

Obras de contención pilotes,
viga cabezal, tensores.
Inclinómetro (caja roja).

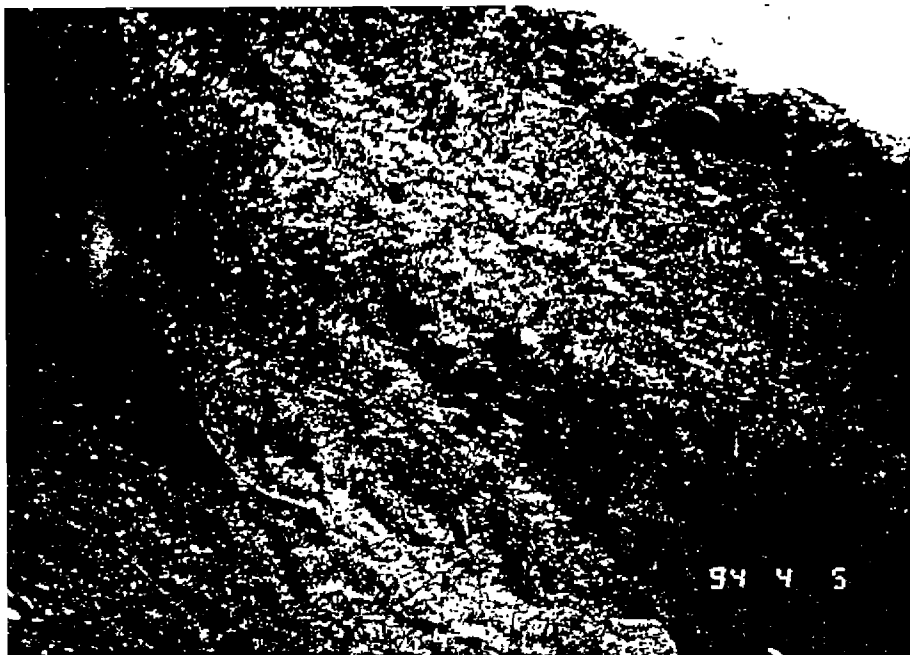
Aparecieron grietas cerca del
camino en julio de 1992
probablemente por socavación
de la pata del talud inferior por
parte de la Quebrada Jucó.
Vista hacia adelante.



Fotografía No. 6

K1+300. "Los Vados"

Vista hacia atrás



Fotografía No. 7

K1+300. "Los Vados"
Ladera inferior del camino Ht =
80 m, $\beta:35-40^\circ$.

Se destabilizó por socavación
de su pata por parte de la
Quebrada Jucó

Se alcanza a apreciar en la
esquina inferior la cresta del
muro de gaviones construido
para restablecer la estabilidad.



Fotografía No. 8

K1+300

Muro de gaviones de 8-9 m de altura construido para restablecer
la pata de la ladera inferior del camino, socavada por la
Quebrada Jucó, durante crecientes por lluvia y por agua de
vaciado de limpieza del embalse El Llano.



Fotografia No. 9 K1+200 (Unos 100 m aguas arriba del sitio del muro de gaviones), Quebrada Jucó.
Derrumbe del talud de margen derecho, que tapón recientemente el cauce y amenaza con reprimir la
quebrada, con lo cual se puede generar una creciente que socavaría aun más su fondo, agravando la
inestabilidad del talud interior del camino



Fotografía No. 10

K1+870

Deslizamiento en el talud superior del camino. Se requirieron tablestacas metálicas durante excavación de la zanja para instalar el tubo del acueducto. Continúa siendo un deslizamiento de suelo sobre caliza.



Fotografía No. 11

K1+920

A la derecha, iniciación del tramo entubado de la Quebrada Granados. Al fondo, deslizamiento de niveles cuaternarios sobre niveles duros de las calizas de San Miguel.



Fotografía No. 12 K2+200.
Deslizamiento de suelos residuales y de roca meteorizada sobre la roca fresca (caliza), causado probablemente por el corte ejecutado para el camino y la pérdida de pata, originándose una clásica falla planar de unos 6 m de espesor. La altura del talud \approx 40-50 m. Pendiente: $\beta: 33^\circ - 38^\circ$.



Fotografía N°. 13 K2+800 "El Queque"

Talud inferior del camino. A la derecha boladero inestable que fluyó por encima del muro de gaviones. Al centro y a la izquierda, masas inestables. Se observan los escarpes del deslizamiento en la ladera izquierda del contrafuerte natural.

En primer plano, escarpes de deslizamientos retrogrados en el talud inferior del camino de la conducción.



Fotografía No. 14 K2+800. "El Queque"
Escarpes y deslizamiento derecho en el talud inferior del camino.



Fotografía No. 15 K2+800 "El Queque"

Vista desde abajo del escarpe y de la masa inestable en el ladrillo inferior del camino de la conducción

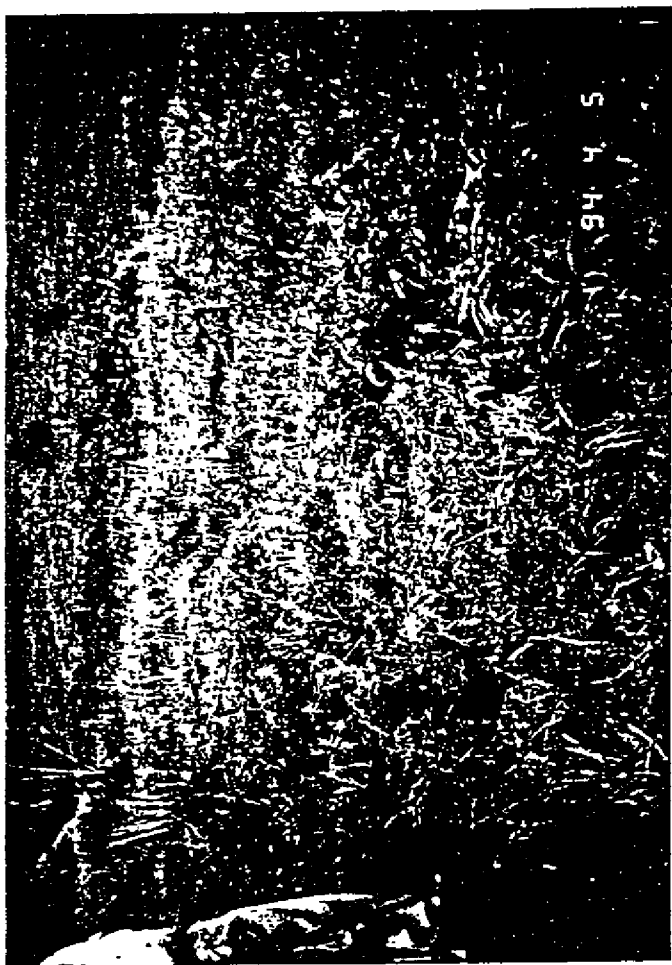
A la izquierda se observa un muro de gaviones construido hace varios años para controlar las primeras manifestaciones de inestabilidad causadas por un boladero durante construcción.



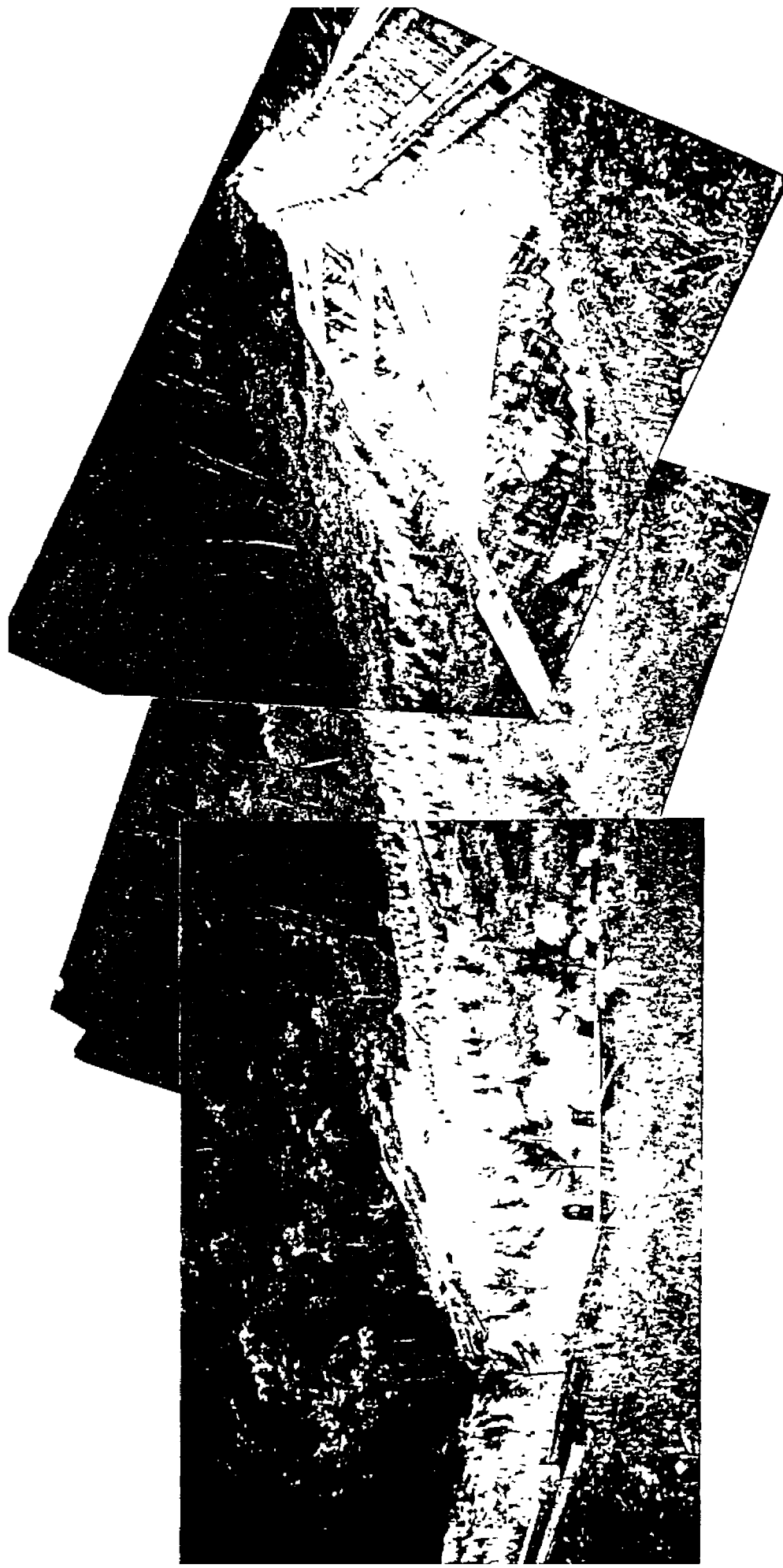
Fotografía N°. 16 K2+800 "El Queque"

Parte inferior de la masa deslizante de la ladera inferior del cajón. Se observan zanjas en cuadrícula para intentar desechar la masa inestable. Zona muy saturada y agrietada.

Fotografía tomada desde un sitio cercano a la cresta de un muro de gaviones de 7 m. construido para contener el deslizamiento.



Fotografía No. 17 K2+800. "El Queque"
Zonas agrietadas en la parte inferior del deslizamiento izquierdo



Fotografía N°. 18. K3+800 "El Tapón"
Aspecto general de las obras de estabilización del talud interior del
camino: muros, cunetas revestidas, reconformación del talud y
revegetación



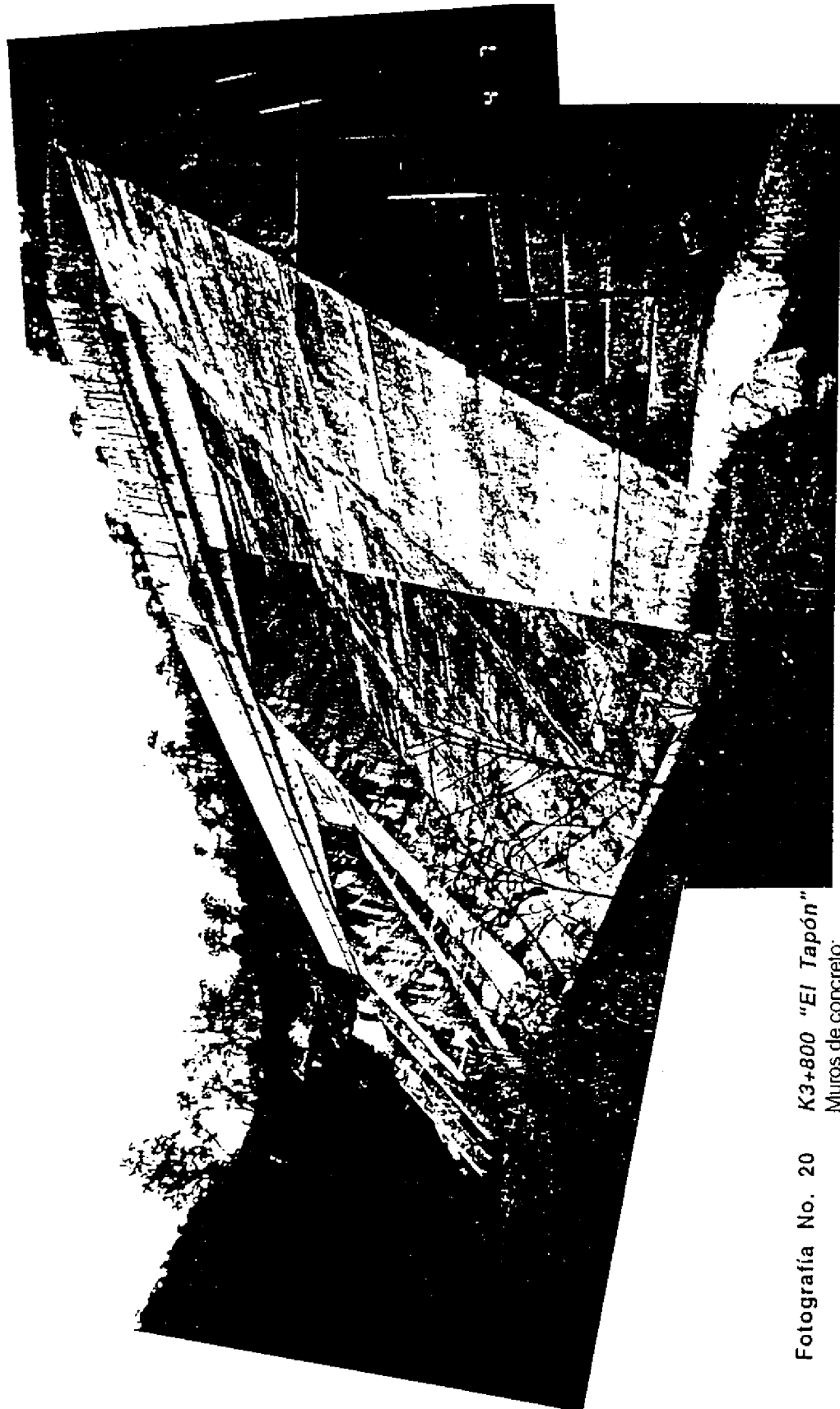
Fotografía No. 19. K3+800 "El Japon"
Obras de estabilización de la ladera ríos, curvas, revestimiento
en talud con muros, tanques de aguacalamiento y escollera de
muros de gravilla en el cauce de la quebrada Los finales

Fotografía No. 20

K3+800 "El Tapón"

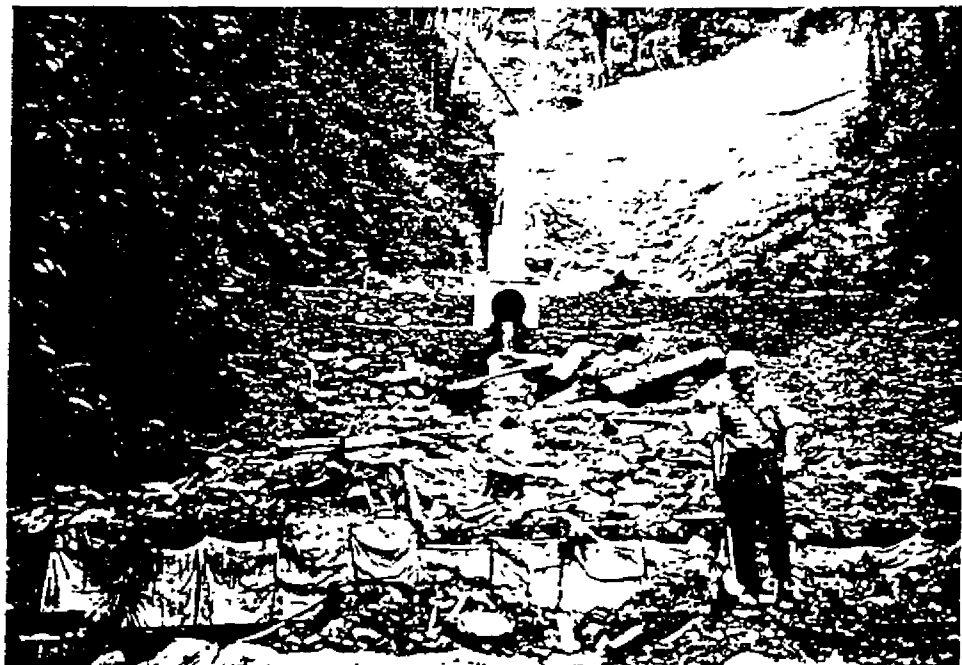
Muros de concreto:

- arriba, muro de concreto reforzado en forma de L, anclado con tensores.
- abajo, muro de gravedad con contrahuertas.

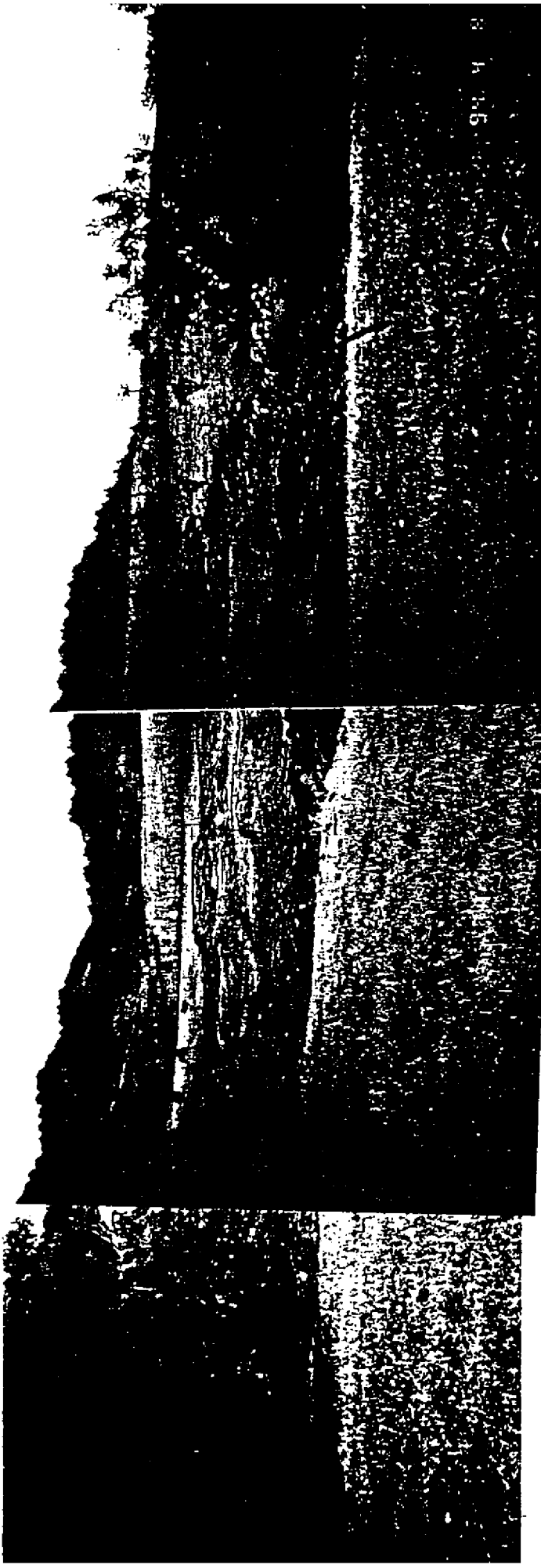




Fotografía No. 21 K3+800. "El Tapón"
Escalonamiento de muros de gaviones para estabilizar el cauce de la
quebrada Los Tanques.



Fotografía No. 22 K3+800. "El Tapón"
Vista hacia arriba del escalonamiento de muros de gaviones y la
entrega controlada del agua de escorrentía.



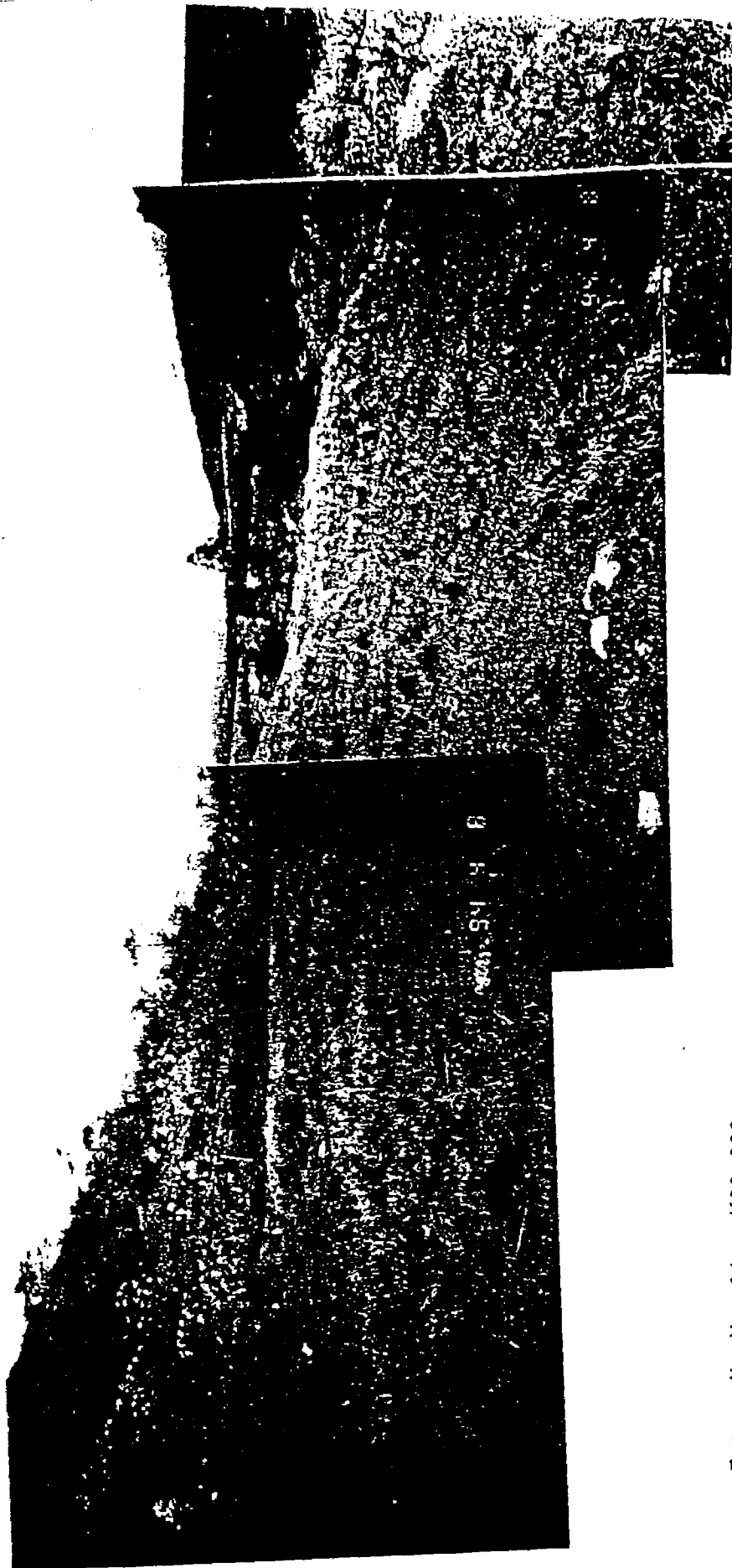
Fotografía No. 23

K23+000

Deslizamiento retrogresivo en suelos probablemente volcánicos en una pendiente suave ($< 20^\circ$) y altura del desnivele: 10 metros aprox.

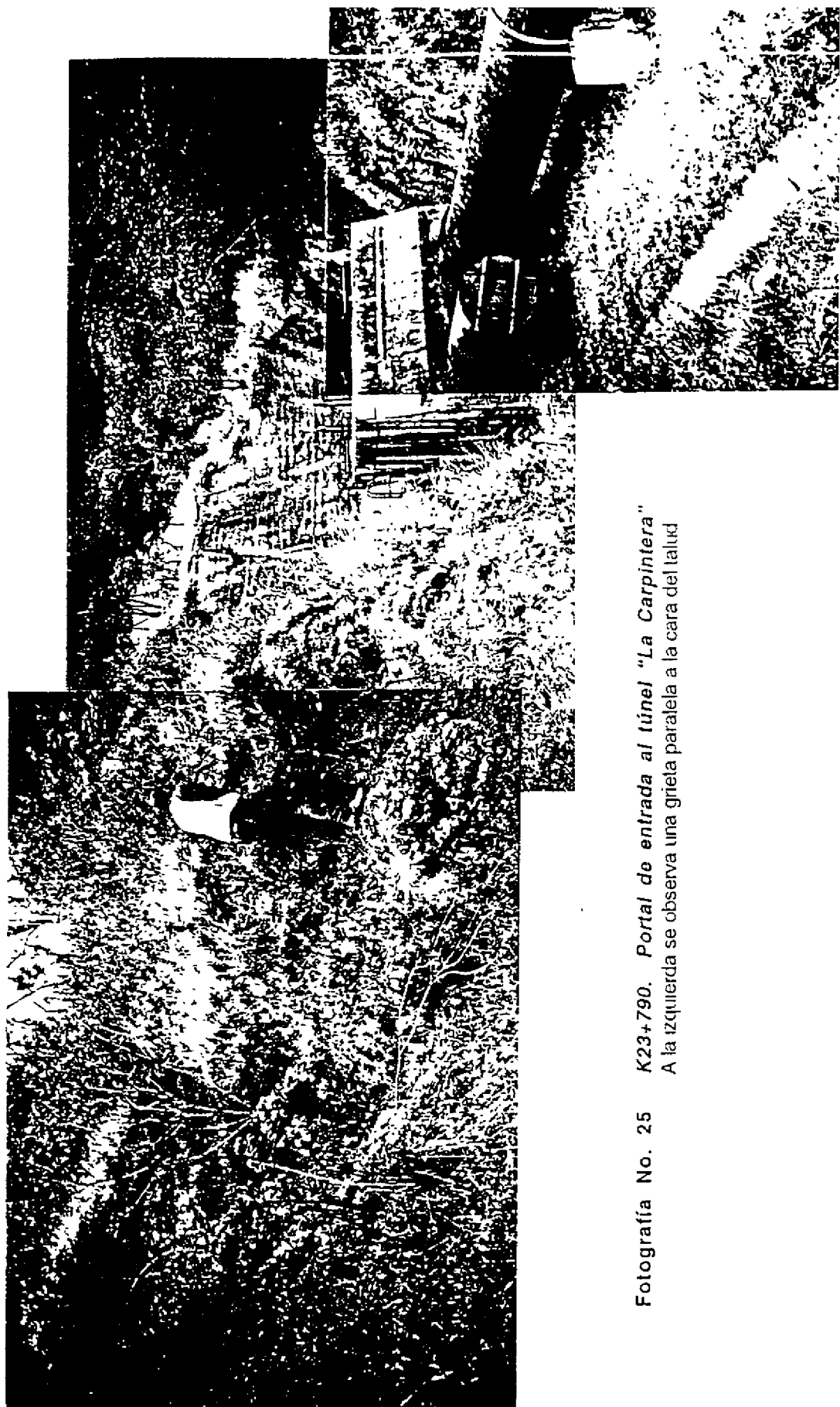
Masa muy saturada.

Es un ejemplo típico de las masas inestables en repación que se encuentran entre el K23+200 y K23+500 del camino de la conducción.

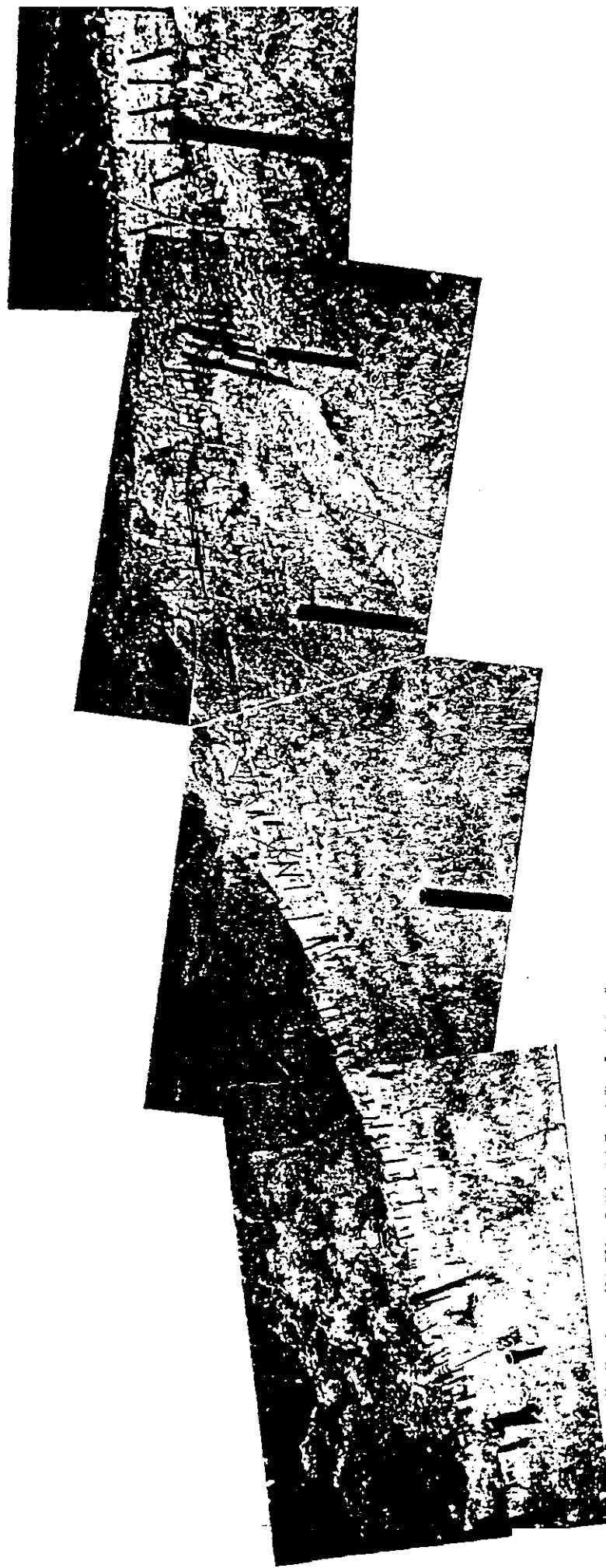


Fotografía No. 24 K23+300.

Masa en replacación con alto grado de saturación. A la derecha se ve el muro de gaviones que ha contrarrestado el movimiento.



Fotografía No. 25 K23+790. Portal de entrada al túnel "La Carpintera"
A la izquierda se observa una grieta paralela a la cara del talud



Fotografía No. 26 K24+750. Salida del Túnel "La Carpintera". Deslizamiento del lajús interior del camino a la salida del túnel. Fue causado por la colocación de un baladío y por la concentración sobre éste de escoriaña proveniente del talud superior.

Son observan las chancas de estabilización con mallas de gravales. Pueden haber sido de concreto, cuando las existentes despidieran de energía y de utilidad el controlada de agua a la que drena y en fricción